

## اثر مهاری چند آلکیل زانتات تازه سنتز شده بر فعالیت کرزولازی آنزیم تیروزیناز قارچ خوراکی

مهدی علی جانیانزاده<sup>\*۱</sup>

۱. دانشجوی دکترای بیوفیزیک، گروه زیست شناسی، دانشگاه آزاد اسلامی، واحد ورامین-پیشوا

محل انجام تحقیق: مرکز تحقیقات بیوشیمی-بیوفیزیک دانشگاه تهران

\*مسئول مکاتبات: مهدی علی جانیانزاده، گروه زیست شناسی، دانشگاه آزاد اسلامی، واحد ورامین

پست الکترونیکی: [Alijanian@ibb.ut.ac.ir](mailto:Alijanian@ibb.ut.ac.ir)

تاریخ دریافت: ۸۸/۳/۳

تاریخ پذیرش: ۸۸/۴/۷

## چکیده

سه ایزوآلکیل دی تیوکربنات (زانتات) به صورت نمک‌های سدیم،  $C_4H_9OCS_2Na$ ،  $C_3H_7OCS_2Na$  (I) و (II) و  $C_5H_{11}OCS_2Na$  (III) توسط واکنش بین  $CS_2$  با ایزوالکل مربوطه در حضور  $NaOH$  سنتز شدند و مهار آن‌ها بر روی فعالیت کرزولازی آنزیم تیروزیناز قارچ خوراکی *Agricus bisporus* خریداری شده از سیگما، امتحان شد. از 4-[4-methylphenyl]azo-phenol (MePAPh) به عنوان سوبسترای سنتزی آنزیم برای فعالیت کرزولازی استفاده شد. نمودارهای لاین ویور-برک نشان دادند که این لیگاندها از الگوهای رقابتی و مختلط برای مهار آنزیم استفاده می‌کنند. برای فعالیت کرزولازی، ترکیبات I و II از الگوی مهاری مختلط پیروی کردند، اما ترکیب III از الگوی مهاری رقابتی پیروی کرد. ثابت مهاری ( $K_i$ ) ترکیبات I، II و III برای فعالیت کرزولازی به ترتیب برابر با ۹/۸، ۷/۲ و ۶/۱ است. این ثابت‌های مهاری نشان می‌دهند که این سه لیگاند مهارکننده‌های خوبی برای آنزیم تیروزیناز قارچ خوراکی‌اند. هم سوبسترا و هم مهارکننده می‌توانند به صورت تعاونی منفی بین جایگاه‌های اتصال، به آنزیم متصل شوند ( $\alpha > 1$ ) که میزان این تعاونی منفی با افزایش طول زنجیره آلیفاتیک در مهارکننده‌ها افزایش می‌یابد. مهار کرزولازی، به چلاته شدن یون‌های مس در جایگاه فعال توسط گروه  $S^-$  زانتات‌ها بستگی دارد که همین امر باعث شده است مقادیر  $K_i$  در فعالیت کرزولازی برای هر سه لیگاند یکسان باشد.

واژه‌های کلیدی: تیروزیناز قارچ خوراکی، آلکیل زانتات، مهار مختلط، مهار رقابتی، ثابت مهاری

## مقدمه

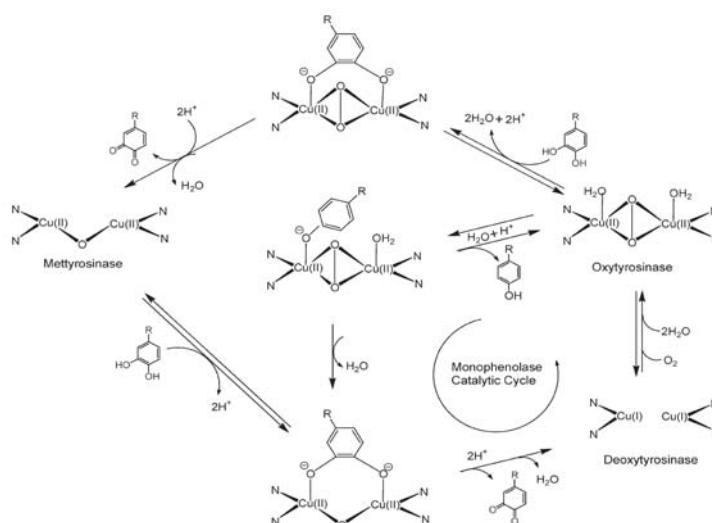
در گیاهان، اهمیت کلیدی تیروزیناز در فرایندهایی نظیر پیگمانتاسیون و سیاه‌شدگی آنزیمی میوه‌ها و سبزیجات است. در حشرات، نقش مهمی در عمل تدافعی و اسکلت‌سازی ایفا می‌کند.

ملانین یکی از بیشترین رنگدانه‌های موجود در باکتری‌ها، قارچ‌ها، گیاهان و جانوران و یک بیوپلیمر شبیه به مشکی است (۱). رنگ پوست و موی پستانداران توسط تعدادی فاکتور تعیین می‌شود که مهمترین آن‌ها میزان و نحوه پراکندگی تولید ملانین است. ملانین توسط سلول‌های ملانوسیت پراکنده در

تیروزیناز (EC 1.14.18.1) یک آنزیم حاوی مس است که دو واکنش مختلف سنتز ملانین را کاتالیز می‌کند: هیدروکسیله شدن تیروزین توسط عمل مونوفنلازی آنزیم و اکسید شدن  $4\omega^3$  دی هیدروکسی فنیل آلانین (L-DOPA) به  $o$ -دوپاکینون توسط عمل دی فنلازی. این آنزیم به میزان زیاد در میکروارگانیسم‌ها، گیاهان، حیوانات و قارچ‌ها یافت می‌شود و مسؤول بیوسنتز ملانین و ترکیبات پلی‌فنلیک است. در پستانداران، تیروزیناز عامل تشکیل رنگدانه‌های پوست، مو و چشم است.

کاتالیز می‌کند و همچنین عامل رنگی شدن آنزیمی میوه‌ها و سبزیجات است. تیروزیناز را می‌توان از منابع ارزان مثل قارچ خوراکی (*Mushroom tyrosinase*) استخراج کرد. تیروزیناز قارچ خوراکی، ویژگی‌های جالب توجهی داشته و به نظر می‌رسد جایگاه فعال آن به سطح پروتئین نزدیک باشد. لذا برای بخش‌های فنلی ملکول‌های بزرگ مثل پپتیدها، قابل دسترسی است. جایگاه فعال تیروزیناز دو اتم مس و سه حالت دارد. مدل‌های ساختاری برای جایگاه فعال این سه فرم تیروزیناز فرض شده است (شکل ۱) (۸، ۹).

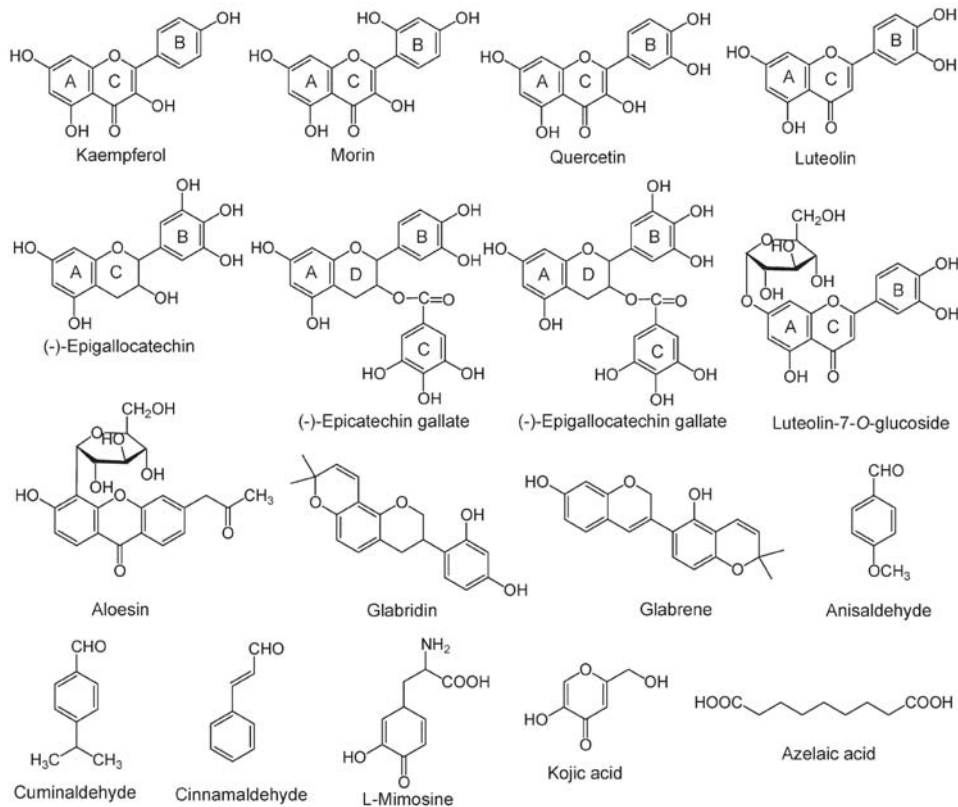
لایه بازال پوست ترشح می‌شود (۲). بسیاری از بیماری‌های پوستی، نتیجه سطح بالای عمل تولید رنگدانه پوستی است (۳). اختلالات متعدد پوستی ناشی از افزایش سطح پیگمانتاسیون اپیدرمی است. از انواع این اختلالات می‌توان به ملازما، لکه‌های پوستی و آسیب‌های آکتینی اشاره کرد (۷). تیروزیناز به طور گسترده در جانوران و گیاهان وجود دارد و در تشکیل رنگدانه‌های ملانین شرکت دارد (۴، ۵، ۶). در صنایع غذایی، تیروزیناز در کنترل کیفی و اقتصادی میوه‌ها و سبزیجات نقش مهمی دارد (۵، ۶ و ۷). تیروزیناز اکسید شدن ترکیبات فنلی را به کینون‌ها



شکل ۱- چرخه کاتالیتیک هیدروکسیلاسیون مونوفنل و اکسیداسیون دی فنل (۸).

بیوسنتز ملانین با در معرض قرار نگرفتن در مقابل UV، مهار تیروزیناز و مهار متابولیسم ملانوسیت‌ها، مهار می‌شود (۱۲، ۱۳). یکی از راه‌های درمان بیماری‌های مربوط به هایپر پیگمانتاسیون استفاده از مهارکننده‌های تیروزیناز است. بنابراین، مطالعه این مهارکننده‌ها حایز اهمیت است. تعدادی از مهارکننده‌های تیروزیناز، هم از منابع طبیعی که هر دو فعالیت مونوفنلازی و دی فنلازی را مهار می‌کنند در شکل ۲ آمده است.

با توجه به موارد بالا یک مکانیسم مولکولی برای فعالیت‌های مونوفنلازی و دی فنلازی تیروزیناز در نظر گرفته شده است. مکانیسم فعالیت مونوفنلازی تیروزیناز بر پایه سه فرم آنزیم به طور گسترده مطالعه شده است (۱۰ و ۱۱). در چرخه مونوفنلازی، مونوفنل می‌تواند فقط با فرم اکسی واکنش دهد و به موقعیت عمودی یکی از مس‌ها در این فرم متصل شود (شکل ۱) 0-1. دی فنل می‌تواند با فرم مت واکنش دهد. در چرخه دی فنلازی، هر دو فرم اکسی و مت می‌توانند با 0-دی فنل واکنش دهند و آن را به 0-کینون اکسید می‌کنند.



شکل ۲- ساختار مهارکننده‌های طبیعی تیروزیناز.

در این مطالعه، اثر مهارتی سه لیگاند سنتزی بررسی شده است.

### مواد و روش‌ها

مواد و وسایل مورد نیاز در این تحقیق عبارتند بودند از:

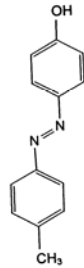
- ۱- تیروزیناز قارچ خوراکی با وزن ملکولی  $kD$   $MW=120$ ، جامد و با فعالیت ویژه  $3400 \text{ unit/mg}$  خریداری شده از سیگما
- ۲- 4-[(4-methylphenyl)azo]-phenol (MePAPh) سوبسترای سنتزی برای فعالیت کروزولازی (شکل ۳)
- ۳- n-alkyl xanthates لیگاندهای تازه سنتز شده (شکل ۴).
- ۴-  $NaH_2PO_4$  و  $Na_2HPO_4$  خریداری شده از شرکت مرک برای تهیه بافر فسفات ۱۰ میلی مولار،  $pH = 6.8$
- ۵- اسپکتروفوتومتر مرئی فرابنفش ساخت ژاپن UV-Vis, UV 3100 model shimadzu,

### ۶- دستگاه pH متر Beckman - Q50

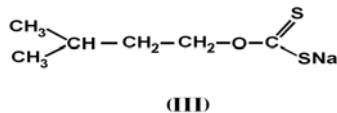
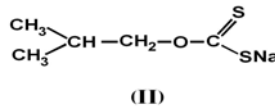
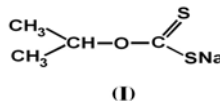
برای مطالعه سینتیکی آنزیم تیروزیناز برای واکنش کروزولازی از سوبسترای MePAPh استفاده شده است (شکل ۳). استفاده از این سوبسترا مشکلی در تداخل جذب بین محصولات، حد واسطها و مهارکننده‌ها با جذب سوبسترا ایجاد نمی‌کند.

سنجش فعالیت کروزولازی از طریق مصرف سوبستراهای MePAPh، به ترتیب، به مدت ۲ دقیقه صورت گرفته است. غلظت آنزیم مورد استفاده  $112/68 \mu\text{g/ml}$  می‌باشد.

فعالیت کروزولازی در  $\lambda_{\text{max}} = 352 \text{ nm}$  اندازه‌گیری شده است. تمام مواد به‌کار رفته در آزمایش‌های فوق از قبیل آنزیم، سوبسترا و لیگاندها به‌صورت محلول‌های تازه تهیه شده مورد استفاده قرار گرفته‌اند.



شکل ۳- MePAPh سوبسترای سنتزی برای فعالیت کروزولازی.



شکل ۴- ساختار لیگاندها.

### بحث و نتیجه گیری

که محل تلاقی آن با محور  $X$ ها  $K_i$ - است (شکل- های به ترتیب ۸ و ۹ برای ترکیبات I و II است). همچنین نمودار ثانویه دیگر که معکوس سرعت ماکزیمم ظاهری در مقابل غلظت مهارکننده است، خط راستی تشکیل می دهد که محل تلاقی آن با محور  $X$ ها  $\alpha K_i$ - است (شکل های به ترتیب ۱۰ و ۱۱ برای I و II است) که  $K_i$  ثابت مهار و  $\alpha$  فاکتور اندرکنش بین جایگاه اتصال سوبسترا و مهارکننده است. نمودارهای لاین ویو-برک برای ترکیب III یکسری خطوط راست ایجاد می کند که یکدیگر را دقیقاً روی محور عمودی قطع می کنند. مقدار سرعت ماکزیمم ظاهری در حضور مهارکننده III بدون تغییر مانده، اما  $K_m$  افزایش یافته است که نشان دهنده مهار رقابتی است (شکل ۷). نمودار ثانویه که شیب در هر غلظت مهارکننده در مقابل غلظت های مختلف مهارکننده (III) می باشد که از روی محل تلاقی آن با محور  $X$ ها ثابت مهار ( $K_i$ -) به دست می آید (شکل ۱۲).

نمودارهای لاین ویو-برک برای فعالیت کروزولازی تیروزیناز قارچ خوراکی که MePAPh را هیدروکسیله می کند (به عنوان سوبسترا)، در حضور غلظت های مختلف Iso-propyl xanthate (I) و iso-butyl xanthate (II) و iso-pentyl xanthate (III) در شکل های ۵، ۶ و ۷ به ترتیب نشان داده شده است. برای ترکیبات I و II این نمودارها یکسری خطوط راست هستند که در سمت چپ محور عمودی همدیگر را قطع می کنند. برای ترکیب I این تقاطع نزدیک به محور افقی (شکل ۵) و برای ترکیب II کمی دورتر از محور افقی است (شکل ۶) که نشان می دهد نوع مهار، مختلط است. مقادیر سرعت ماکزیمم ظاهری ( $V_{max}$ ) و ثابت میکائیلیس ظاهری ( $K_m$ ) و همچنین شیب خطوط ( $K_m/V_{max}$ ) را می توان در غلظت های مختلف مهارکننده (I, II) به دست آورد. نمودار ثانویه شیب در مقابل غلظت مهارکننده خط راستی ایجاد می کند

مهارکننده. همان‌طور که جدول ۱ نشان می‌دهد، بزرگترین مقدار  $K_i$  برای I برابر با  $9/8 \mu\text{M}$  و کوچکترین آن برای III برابر با  $6/1 \mu\text{M}$ . بنابراین، تمایل اتصال مهارکننده به آنزیم از I تا III زیاد تغییر نکرده است، فقط با اضافه کردن گروه  $\text{CH}_2$  تعاونی منفی بین جایگاه اتصال سوبسترا و مهارکننده زیاد شده است.

همچنین تغییرات انرژی آزاد استاندارد گیبس ( $\Delta G^\circ$ ) برای اتصال این سه لیگاند به آنزیم در فعالیت کروزولازی محاسبه شد. برای محاسبه  $\Delta G^\circ$  از رابطه ۱ استفاده گردید (۱۴). که در آن، K همان ثابت اتصال تجمع است که از معکوس کردن ثابت های مهار  $K_i$  حاصل شده است.

گازها و T دمای محیط است.

$$\Delta G^\circ = -R T \ln K$$

در این رابطه، R ثابت

مقادیر  $K_i$  و  $\alpha$  فعالیت کروزولازی تیروزیناز در حضور ترکیبات I، II و III در جدول ۱ نوشته شده است. مقدار  $\alpha$  برای I،  $1/2$  است. برابر بودن مقدار  $\alpha$  با یک این معنی را می‌دهد که مهار، از نوع غیررقابتی است. در مهار غیررقابتی، هیچ اندرکنشی بین جایگاه اتصال مهارکننده و سوبسترا وجود ندارد. بنابراین، یک اندرکنش ضعیف (تعاونی منفی) بین جایگاه اتصال سوبسترا و I وجود دارد که باعث انحراف کم  $\alpha$  از یک می‌شود. مقدار  $\alpha$  برای II برابر با  $4/1$  است که نشان می‌دهد با اضافه کردن یک گروه  $\text{CH}_2$  به ساختار لیگاند، تعاونی منفی بین جایگاه اتصال سوبسترا و مهارکننده افزایش یافته است. اضافه کردن یک گروه دیگر  $\text{CH}_2$  به لیگاند باعث شده که مهار برای III رقابتی با مقدار بی‌نهایت برای  $\alpha$  شود که نشان میدهد اندرکنش بین جایگاه اتصال سوبسترا و مهارکننده آنقدر زیاد است که فقط یا سوبسترا می‌تواند به آنزیم متصل شود یا

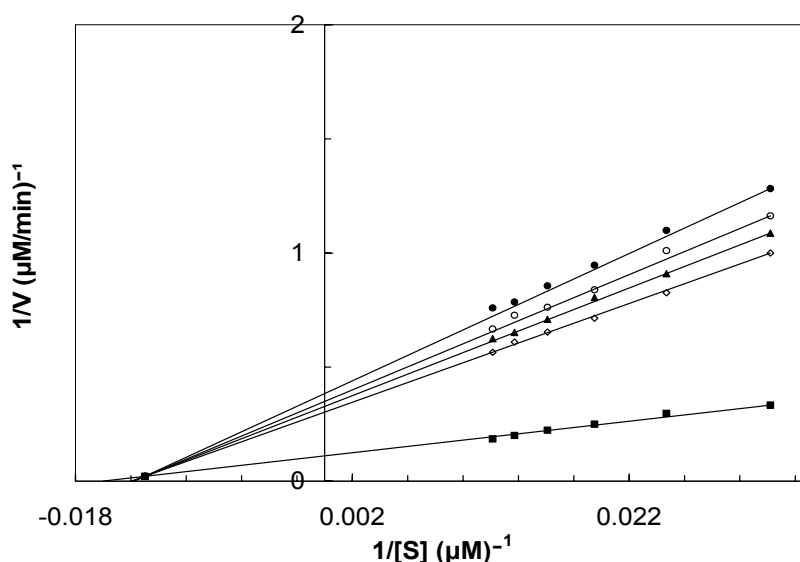
بدین صورت مقادیر ( $\Delta G^\circ$ ) محاسبه شده است:

$$\Delta G^\circ = -0.008314 \times 293 \times \ln (1.0 \times 10^5) = -28.1 \text{ kJ mol}^{-1} \quad \text{I} \quad \text{برای}$$

$$\Delta G^\circ = -0.008314 \times 293 \times \ln (1.4 \times 10^5) = -28.9 \text{ kJ mol}^{-1} \quad \text{II} \quad \text{برای}$$

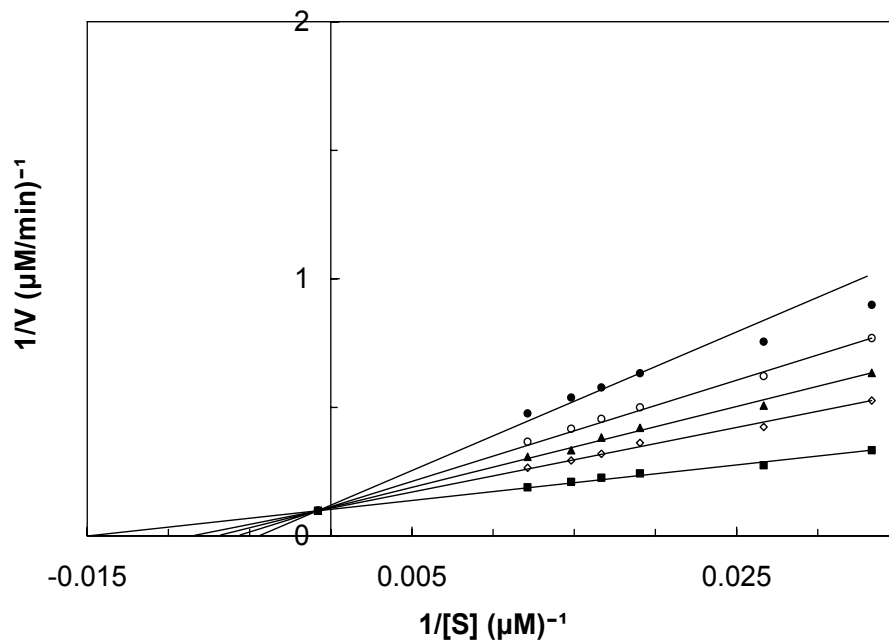
$$\Delta G^\circ = -0.008314 \times 293 \times \ln (1.6 \times 10^5) = -29.2 \text{ kJ mol}^{-1} \quad \text{III} \quad \text{برای}$$

مقادیر ( $\Delta G^\circ$ ) برای هر سه لیگاند در جدول ۱ نوشته شده است.



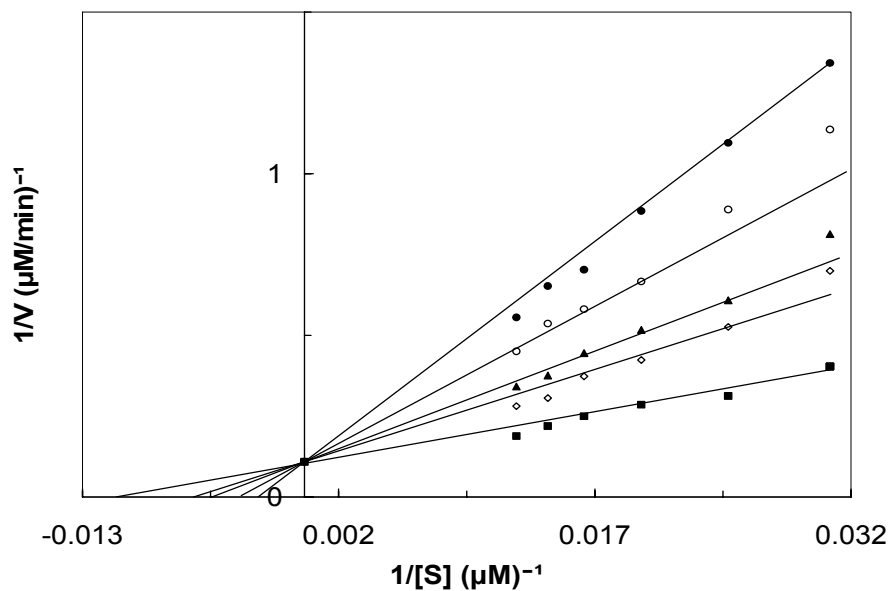
شکل ۵- نمودار لاین ویوربرگ سینتیک تیروزیناز قارچ خوراکی برای واکنش کروزولازی و استفاده از MePAPh به عنوان سوبسترا در بافر فسفات ۱۰ میلی مولار،  $\text{pH} = 6/8$  در دمای ۲۰ درجه سانتی‌گراد و غلظت آنزیمی  $112/68 \mu\text{g/ml}$  در حضور غلظت های مختلف I:

0 mM (■), 0.02 mM (◇), 0.0225 mM (▲), 0.025 mM (○), 0.03 mM (●)



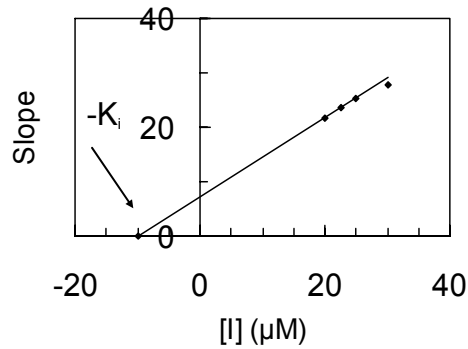
شکل ۶- نمودار لاین ویوربرگ سینتیک تیروزیناز قارچ خوراکی برای واکنش کروزولازی و استفاده از MePAPh به عنوان سوپسترا در بافر فسفات ۱۰ میلی مولار،  $\text{pH} = 6/8$  در دمای ۲۰ درجه سانتی‌گراد و غلظت آنزیمی  $112/68 \mu\text{g/ml}$ ، در حضور غلظت های مختلف I I:

0 mM (■), 0.0175 mM (◇), 0.02 mM (▲), 0.0225 mM (○), 0.025 mM (●)

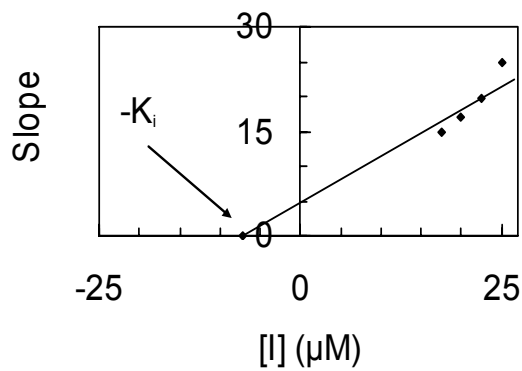


شکل ۷- نمودار لاین ویوربرگ سینتیک تیروزیناز قارچ خوراکی برای واکنش کروزولازی و استفاده از MePAPh به عنوان سوپسترا در بافر فسفات ۱۰ میلی مولار،  $\text{pH} = 6/8$  در دمای ۲۰ درجه سانتی‌گراد و غلظت آنزیمی  $112/68 \mu\text{g/ml}$ ، در حضور غلظت های مختلف I I I:

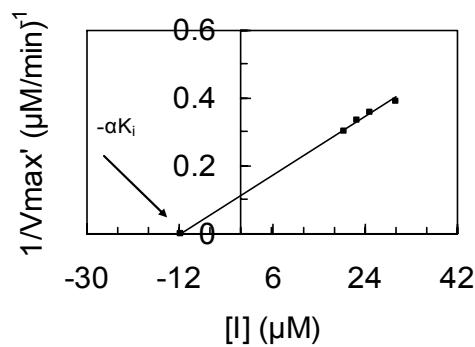
0 mM (■), 0.0125 mM (◇), 0.015 mM (▲), 0.0175 mM (○), 0.02 mM (●).



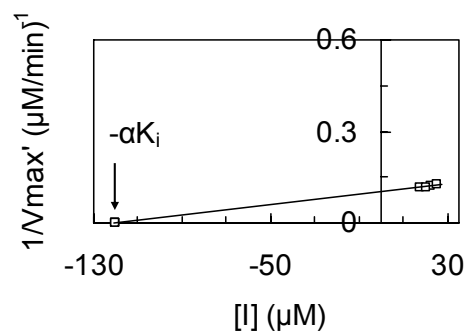
شکل ۸- نمودار ثانویه اول به دست آمده از شکل ۵ که شیب در مقابل غلظت مهارکننده است که از روی نقطه تقاطع آن با محور  $X$ ،  $-K_i$  به دست می آید.



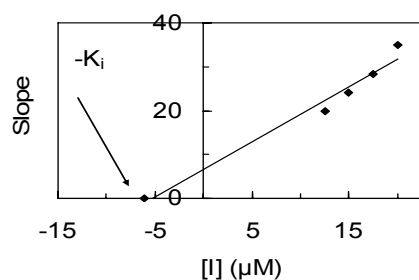
شکل ۹- نمودار ثانویه اول به دست آمده از شکل ۶ که شیب در مقابل غلظت مهارکننده می باشد که از روی نقطه تقاطع آن با محور  $X$ ،  $-K_i$  به دست می آید.



شکل ۱۰- نمودار ثانویه دوم به دست آمده از شکل ۵ که معکوس سرعت ماکزیمم ظاهری در مقابل غلظت مهارکننده است که از روی نقطه تقاطع آن با محور  $X$ ،  $-\alpha K_i$  به دست می آید.



شکل ۱۱- نمودار ثانویه دوم به دست آمده از شکل ۶ که معکوس سرعت ماکزیمم ظاهری در مقابل غلظت مهارکننده می باشد که از روی نقطه تقاطع آن با محور  $X$ ،  $-\alpha K_i$  به دست می آید



شکل ۱۲- نمودار ثانویه به دست آمده از شکل ۷ که شیب در مقابل غلظت مهارکننده است که از روی نقطه تقاطع آن با محور  $X$ ،  $-K_i$  به دست می آید

جدول ۱- پارامترهای ترمودینامیکی اتصال (I) 2-Propanol dithioxantate، iso-butanol dithioxantate (II) و iso-pentanol dithioxantate (III) به تیروزیناز قارچ خوراکی در  $\text{pH} = 6.8$  و دمای ۲۰ درجه سانتی گراد.

Reaction type	Ligands	$K_a (\text{M})^{-1}$	$K_i (\mu\text{M})$	$\Delta G^\circ (\text{kJ mol}^{-1})$	$\alpha$
Cresolase activity	I	$1.0 \times 10^5$	9.8	-28.1	1.2
	II	$1.4 \times 10^5$	7.2	-28.9	4.1
	III	$1.6 \times 10^5$	6.1	-29.2	$\infty$

مهارکننده در فعالیت کروزولازی از طریق اندرکنش های الکترواستاتیک است (۱۶). از این رو، انتظار داریم که هر سه مهارکننده در فعالیت کروزولازی به خاطر داشتن گروه باردار مشابه،  $K_i$  مشابه داشته باشند.

#### تقدیر و تشکر

از جناب آقای پروفسور صبوری، رییس مرکز تحقیقات بیوشیمی-بیوفیزیک دانشگاه تهران به

بعضی از ترکیبات تیول به خاطر توانایی چلات کردن  $\text{Cu}^{+2}$  می توانند به عنوان مهارکننده تیروزیناز مورد استفاده قرار گیرند (۱۵). همچنین هر سه این ترکیبات تازه سنتز شده، به عنوان مهارکننده عمل می کنند. هر نمک سدیم n-آلکیل زانتات یک آنیون حاوی گروه  $\text{S}^-$  تولید می کند و یک دم هیدروفوب دارد. با مقایسه مقادیر  $K_i$  و  $\Delta G^\circ$  در جدول ۱ درمی یابیم که این سه لیگاند فعالیت کروزولازی تیروزیناز قارچ خوراکی را به خوبی مهار کرده اند. نتایج در اینجا نشان می دهند که نوع پروسه اتصال



تحقیق، صمیمانه تشکر می‌کنم.

خاطر فراهم آوردن امکانات لازم برای انجام این

#### منابع مورد استفاده

- 1- Prota, G., 1988. Progress in the chemistry of melanins and related metabolites. *Med Res Rev* 8: 525-556.
- 2- Spritz, R. A., Hearing, V., 1994. Genetic disorders of pigmentation. *Adv Hum Genet* 22: 1-45.
- 3- Kim, Y. J., Uyama, H., 2005. Tyrosinase inhibitors from natural and synthetic sources: structure, inhibition mechanism and perspective for the future. *Cell Mol Life Sci* 62: 1707-1723.
- 4- Pawelek, J. M., Korner, M. M., 1982. The biosynthesis of mammalian melanin. *Am Sci* 70: 136-145.
- 5- Whitaker, J. R., 1995. Structure and mechanisms. In: Wong DWS, ed. *Food enzymes*. Chapman and Hall, New York. 271-307.
- 6- Mayer, A. M., 1987. Polyphenol oxidases in plants: recent progress. *Phytochemistry* 26: 11-20.
- 7- Friedman, M., 1996. Food browning and its prevention: an overview. *J Agric Food Chem* 44: 631-653.
- 8- Sánchez-Ferrer, Á., Bru, R., García-Carmona, F., 1990. Partial purification of a thylakoid-bound enzyme using temperature- induced phase partitioning. *Anal Biochem* 184: 279-282.
- 9- Solomon E. I., Sundaram, U. M., Machonkin, T. E., 1996. Multicopper oxidases and oxygenases. *Chem Rev* 96: 2563-2605.
- 10- Espin, J. C., Garcia-Ruiz, P. A., Tudela J., Garcia-Canovas, F., 1998. Study of stereospecificity in mushroom tyrosinase. *Biochem J* 15: 547-51.
- 11- Naish-Byfield, S., Riley, P. A., 1992. *Biochem J* 288: 63-67.
- 12- Seiberg, M., Paine, C., Shalow, E., Andrade-Gordon, P., Costanzo, M., Eisinger, M., 2000. Inhibition of melanosome transfer results in skin lightening. *J Invest Dermatol* 115: 162-167.
- 13- Seiberg, M., Paine, C., Sharlow, E., Andrade-Gordon, P., Costanzo, M., Eisinger, M., 2000. The protease-activated receptor 2 regulates pigmentation via keratinocyte-melanocyte interactions. *Exp Cell Res* 254: 25-32.
- 14- Atkins. P., DePaula J., 2002. *Physical Chemistry*, 7<sup>th</sup> Ed. WH Freeman & Company: New York. Chap 9.
- 15- Hanlon, D. P., Shuman S., 1975. Copper ion binding and enzyme inhibitory properties of the antithyroid drug methimazole. *Experientia* 31: 1005-1006.
- 16- Saboury, A. A., Zolghadri, S., Haghbeen, K., Moosavi-Movahedi, A. A., 2006. The inhibitory effect of benzenethiol on the cresolase and catecholase activities of mushroom tyrosinase. *J Enz Inhib Med Chem* 21: 711-717.